

FIG. 1

10/523416

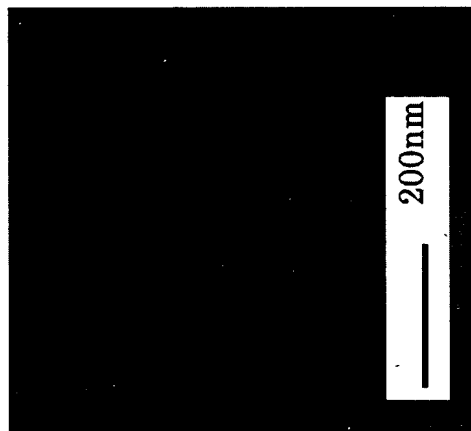
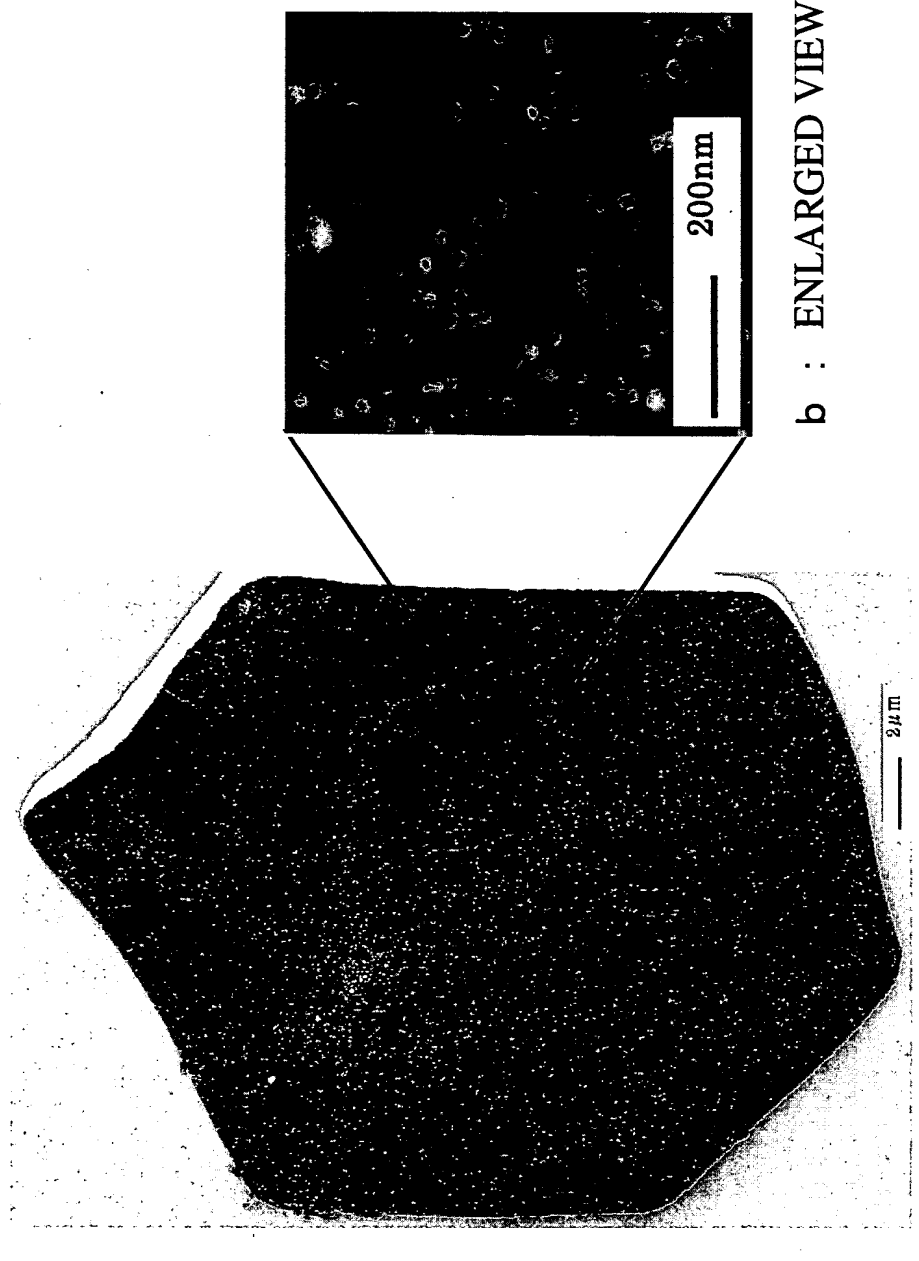


FIG. 2



a : OVERVIEW OF MONOFILAMENT

b : ENLARGED VIEW

FIG. 3

10/523416

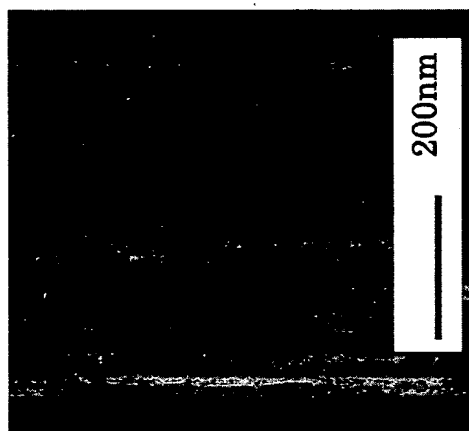


FIG. 4

10/523416



FIG. 5

10/523416

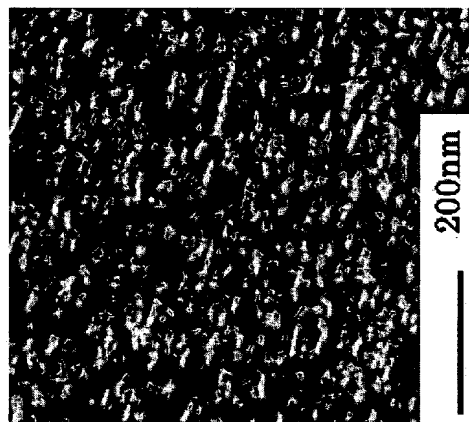


FIG. 6

10/523416

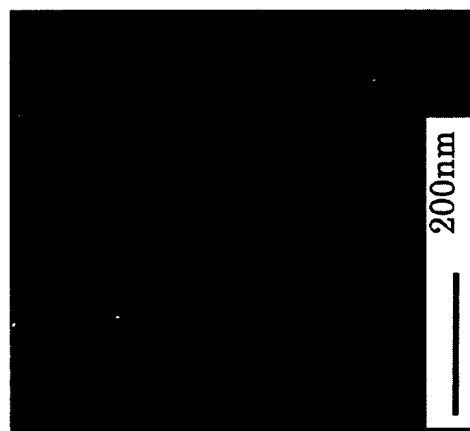


FIG. 7

10/523416

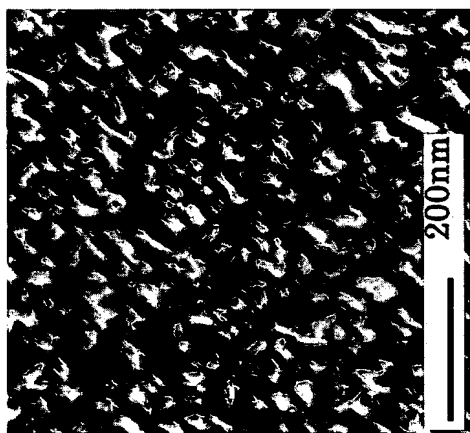


FIG. 8

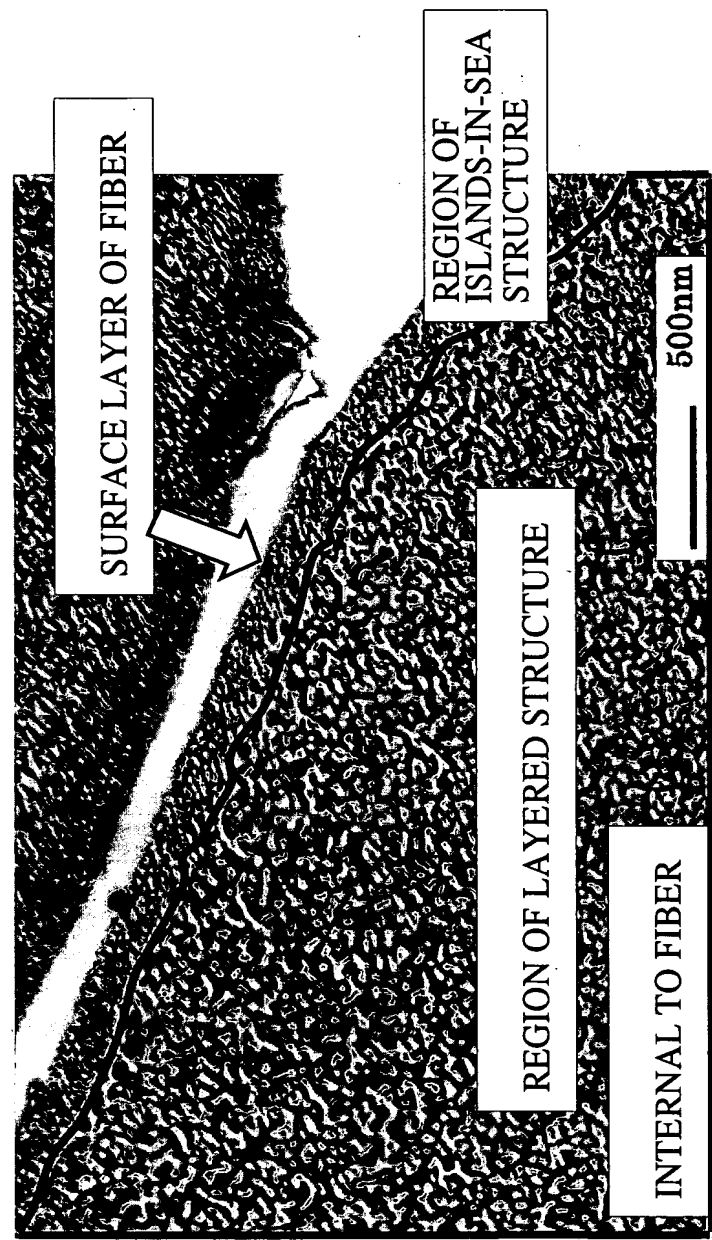


FIG. 9

10/523416

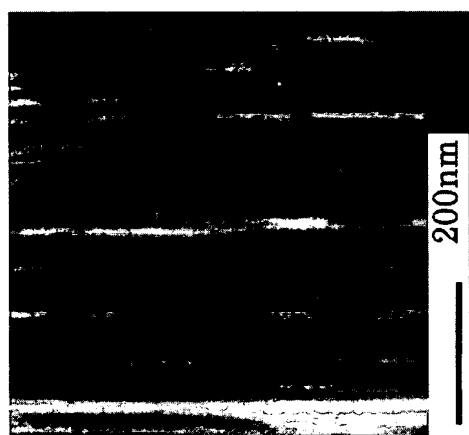


FIG. 10

10/34

10/523416



FIG. 11

10/523416

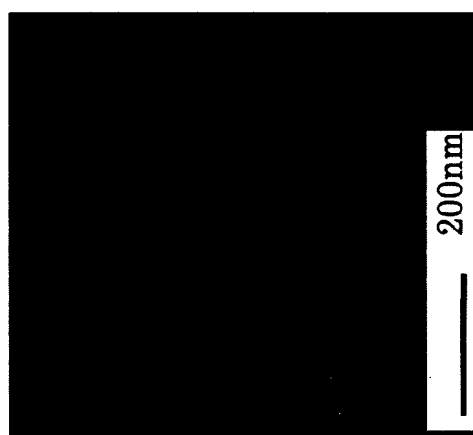


FIG. 12

10/523416

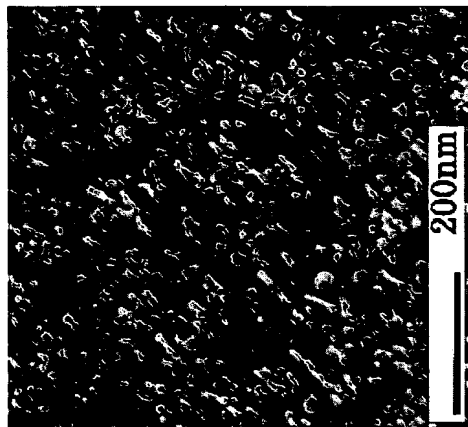


FIG. 13

10/523416

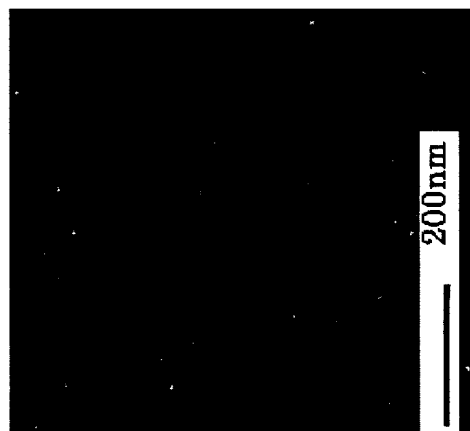


FIG. 14

10/523416

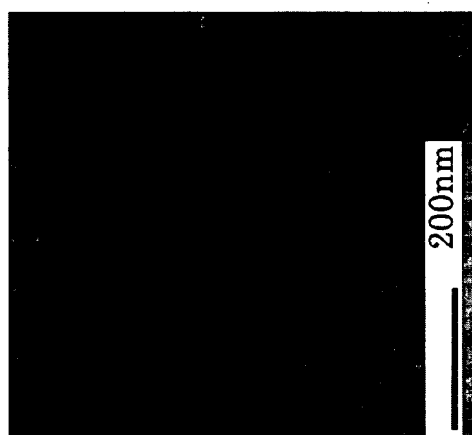


FIG. 15

10/523416

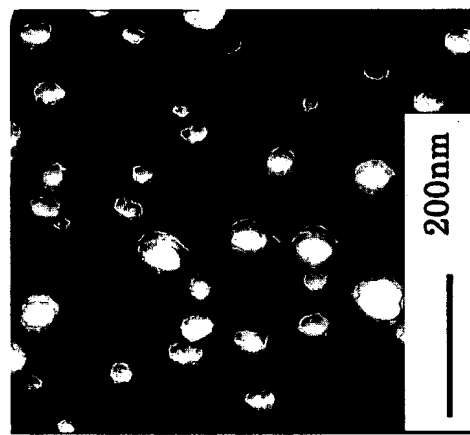


FIG. 16

10/523416

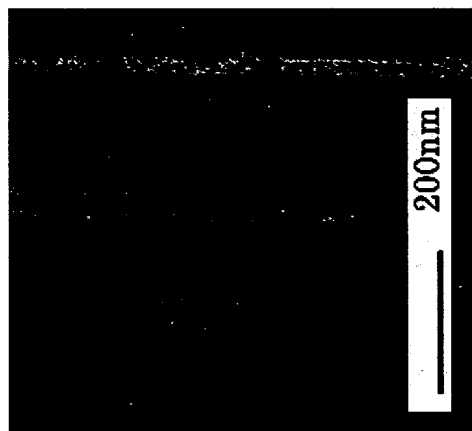


FIG. 17

10/523416

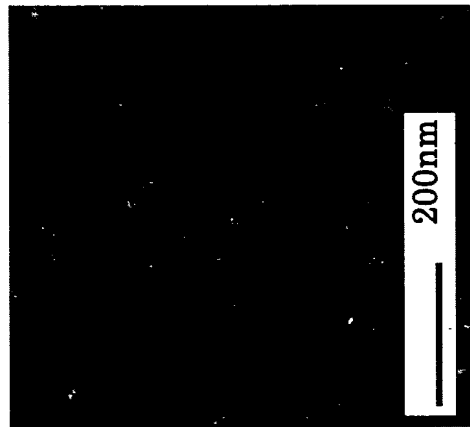


FIG. 18

10/523416

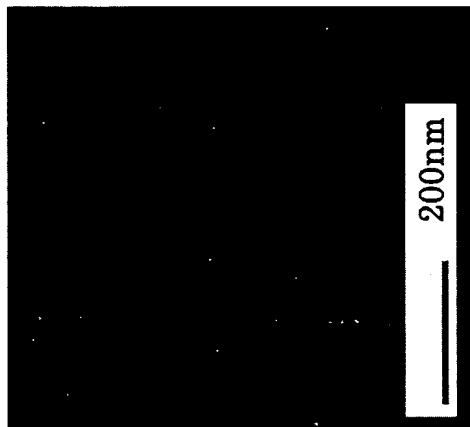


FIG. 19

10/523416

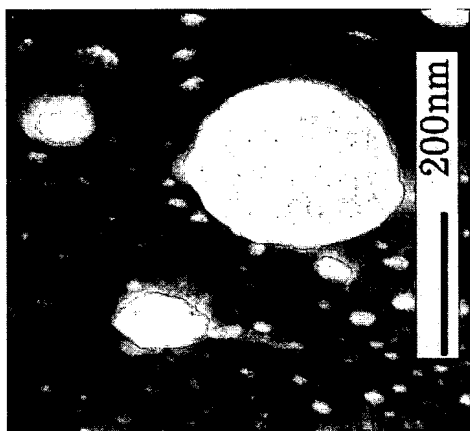


FIG. 20

10/523416

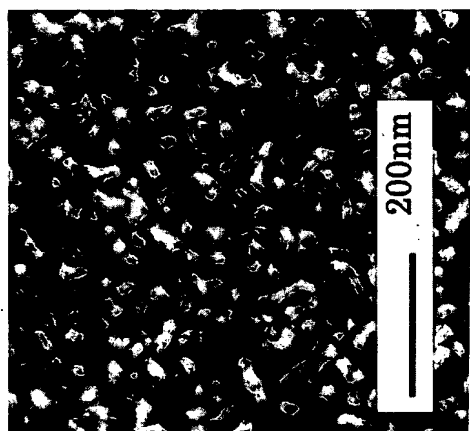


FIG. 21

10/523416



FIG. 22

10/523416

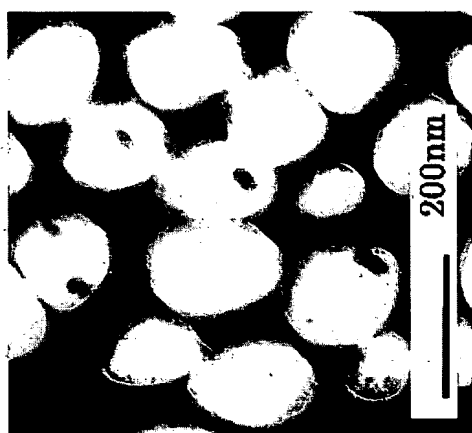


FIG. 23

10/523416

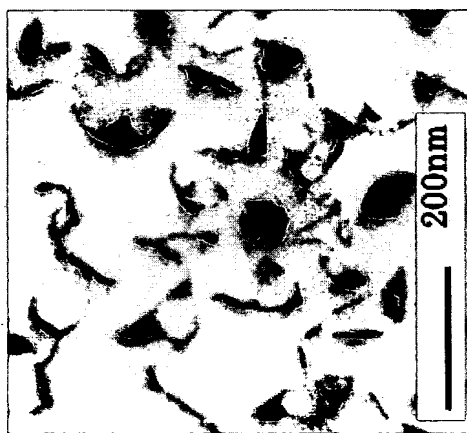


FIG. 24

10/523416

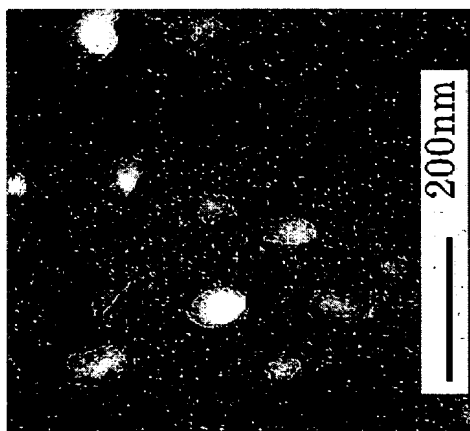


FIG. 25

10/523416

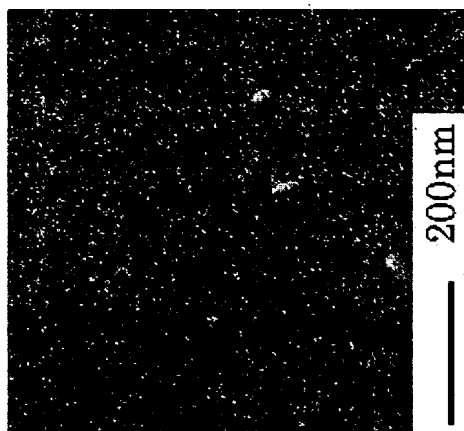


FIG. 26

10/523416

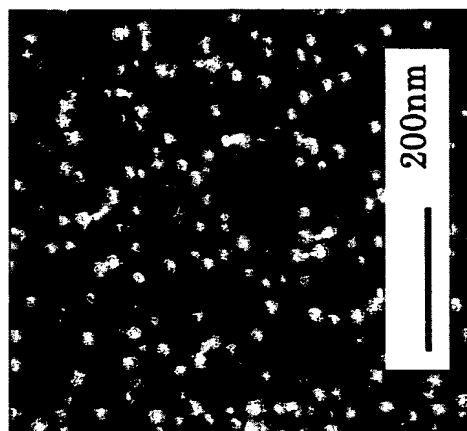


FIG. 27

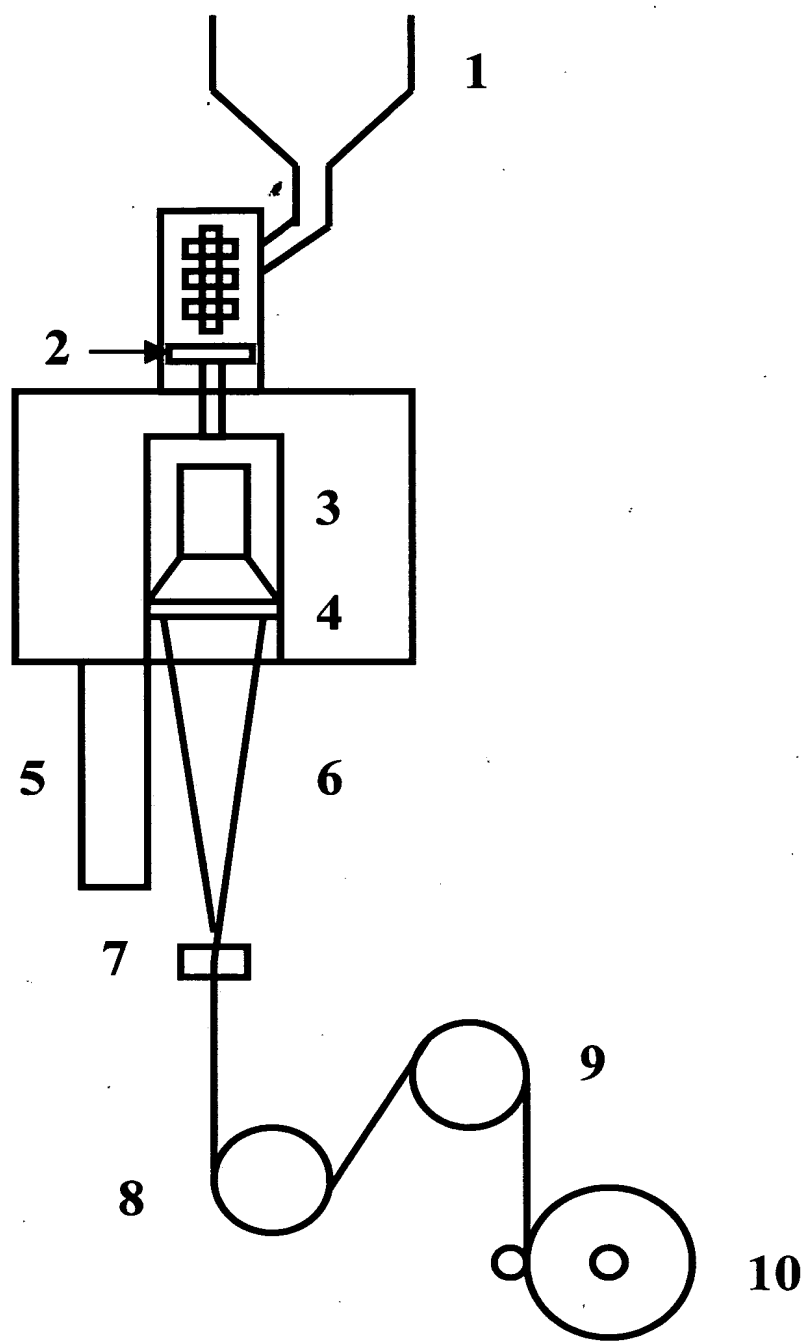


FIG. 28

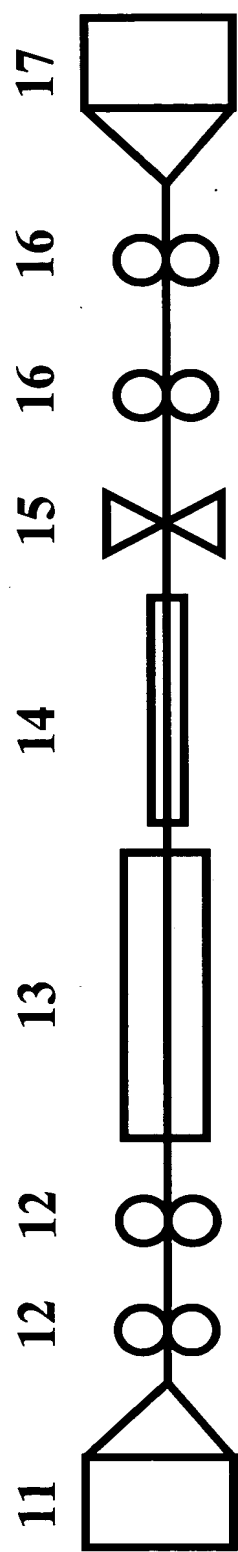


FIG. 29

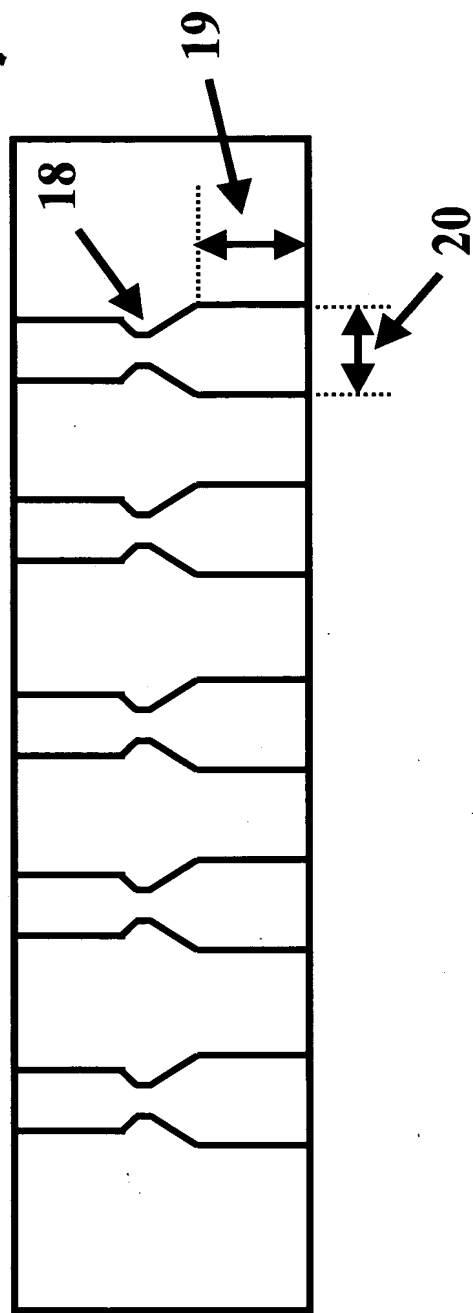


FIG. 30

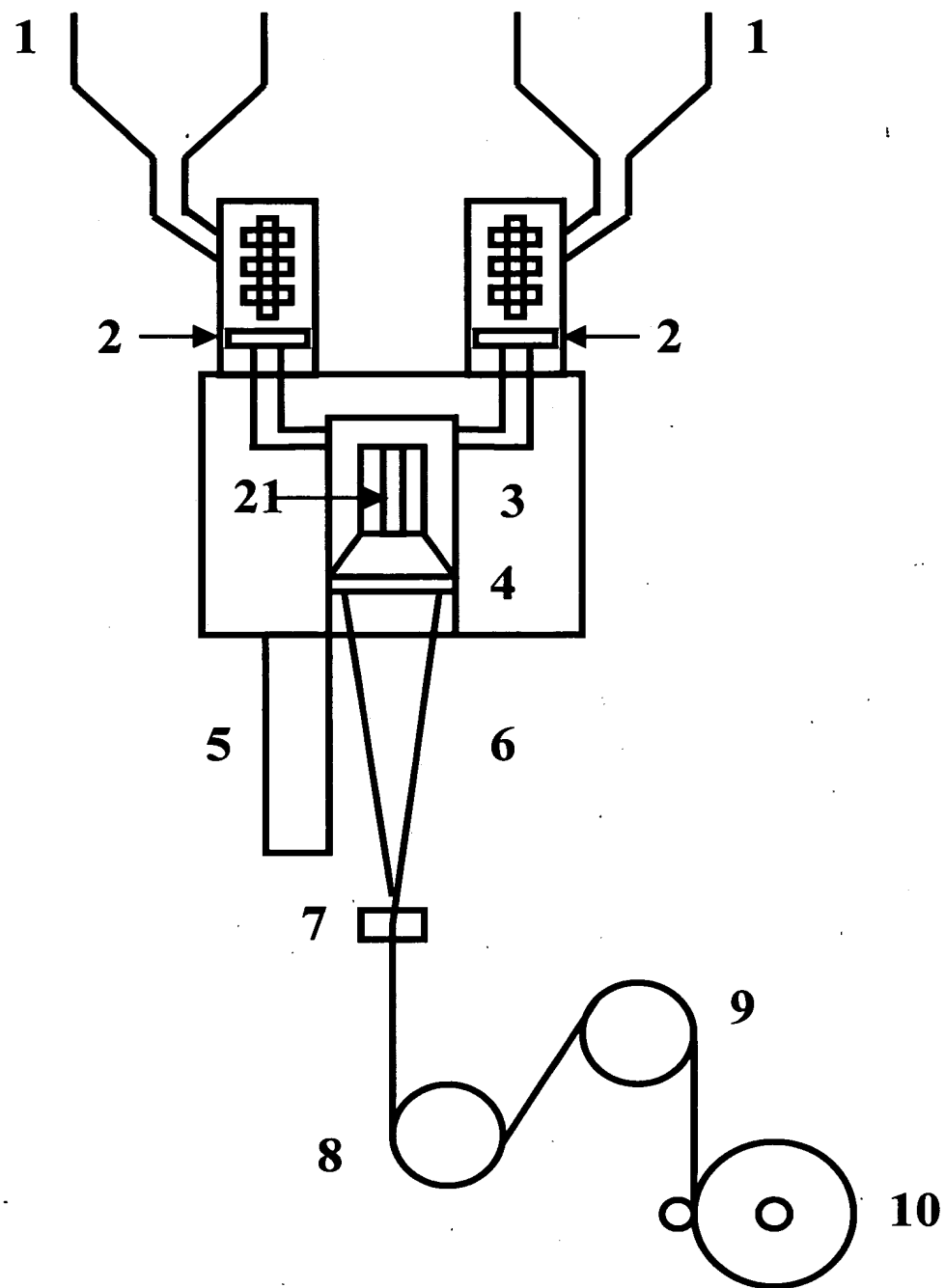


FIG. 31

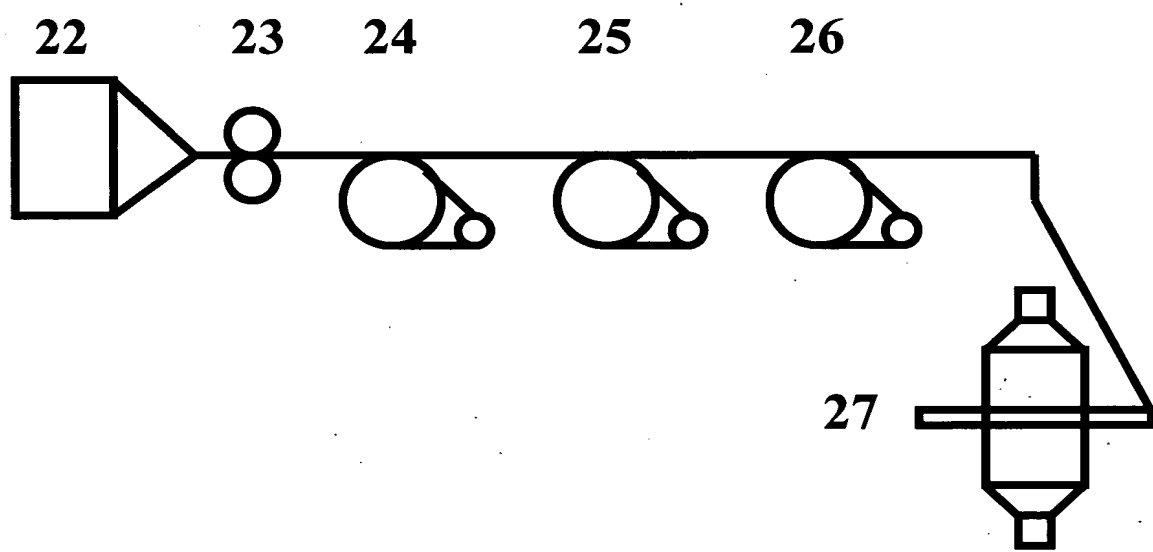


FIG. 32

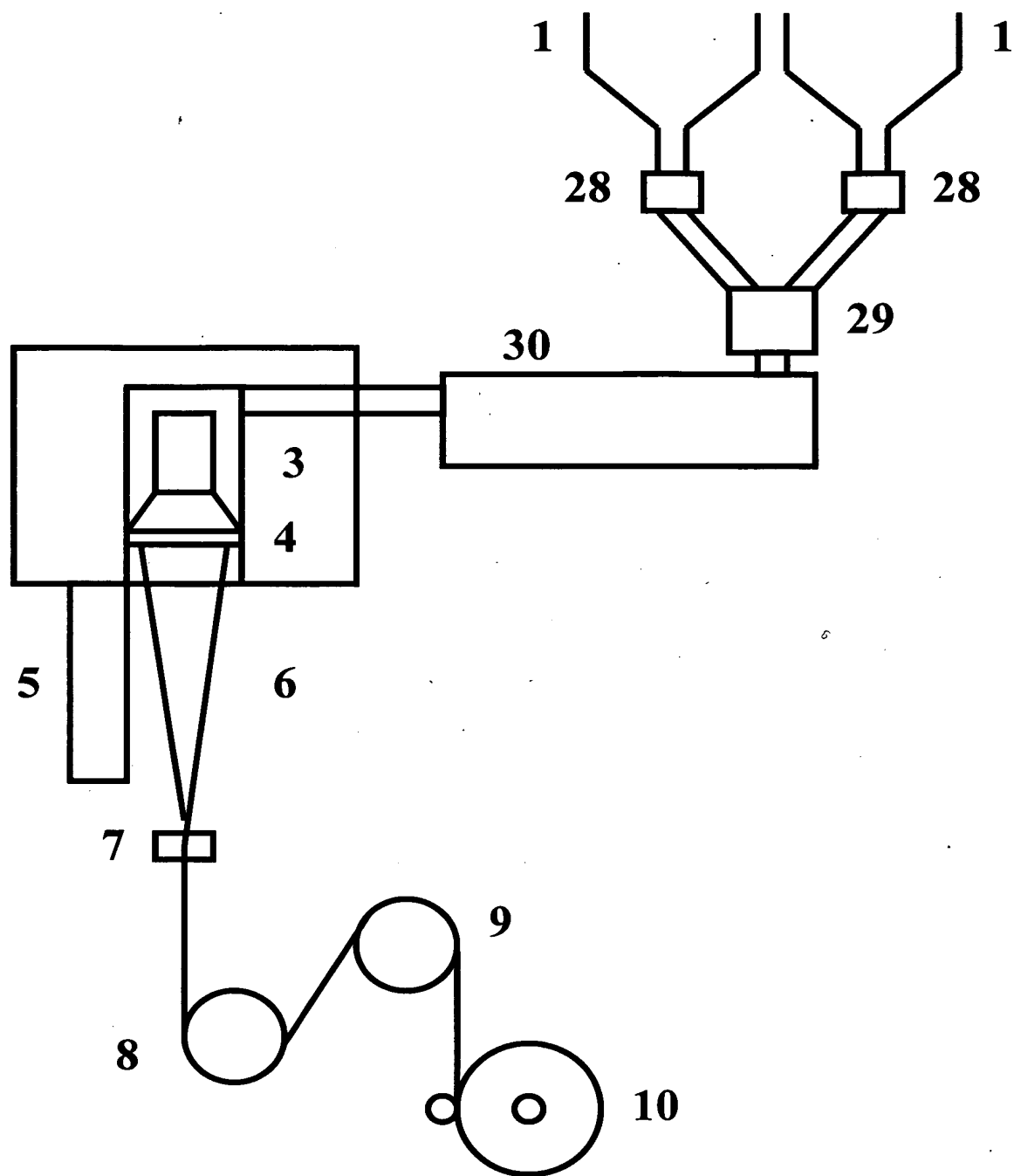


FIG. 33

33/34

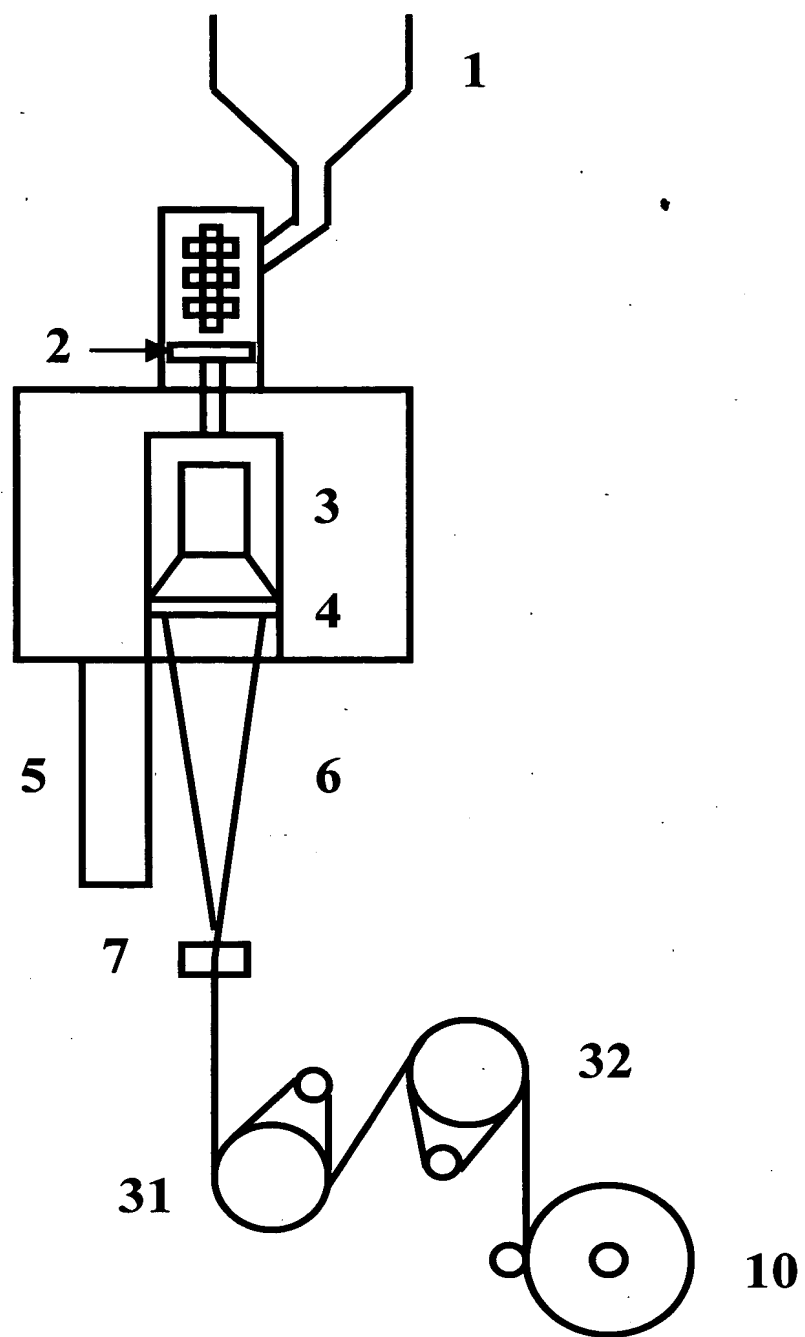


FIG. 34

34/34